

# Test bootstrap pour l'unimodalité d'exposants de Hurst estimés. Évaluation des performances dans une configuration d'analyse de grande dimension.



Charles-Gérard Lucas<sup>1</sup>, Patrice Abry<sup>1</sup>, Herwig Wendt<sup>2</sup>, Gustavo Didier<sup>3</sup>, Oliver Orejola<sup>3</sup>



<sup>1</sup> ENSL, CNRS, Laboratoire de physique, F-69342 Lyon, France, [prénom.nom@ens-lyon.fr](mailto:prénom.nom@ens-lyon.fr)

<sup>2</sup> IRIT, Univ. Toulouse, CNRS, Toulouse, France, [herwig.wendt@irit.fr](mailto:herwig.wendt@irit.fr)

<sup>3</sup> Math. Dept., Tulane University, New Orleans, USA, [{gdidier,oorejola}@tulane.edu](mailto:{gdidier,oorejola}@tulane.edu)



Institut de Recherche  
en Informatique de Toulouse

## Objectifs

- Tester l'égalité entre exposants d'autosimilarité  
 $H_1 = \dots = H_M$
- Performances en grande dimension :  $M \rightarrow +\infty$

## Méthodes

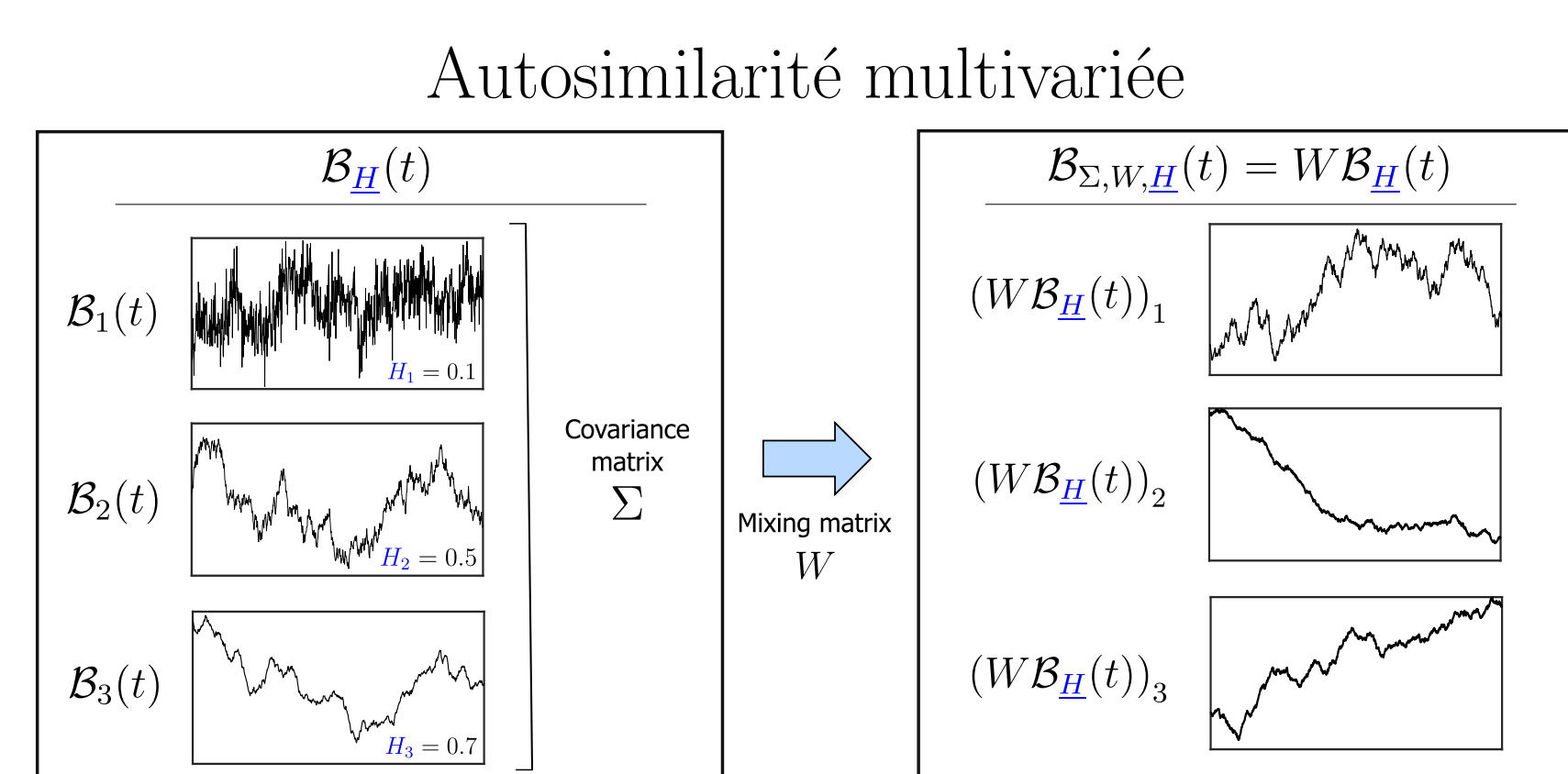
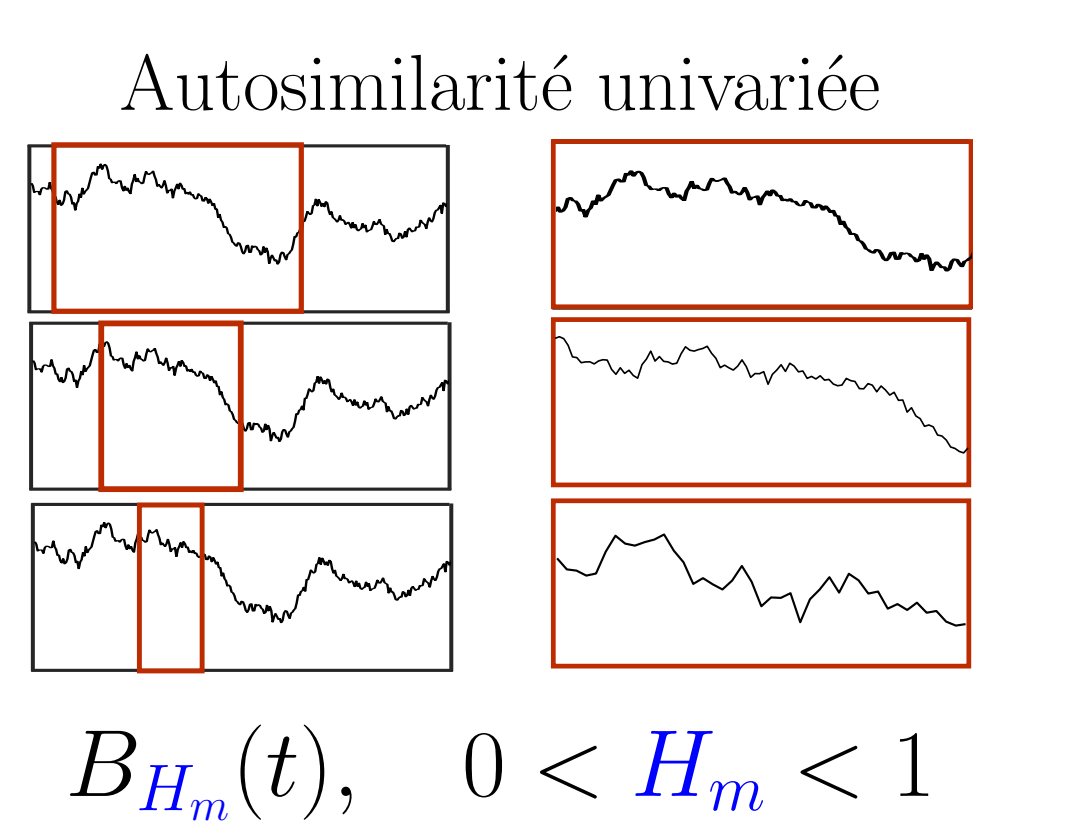
- Valeurs propres des spectres d'ondelettes
- Bootstrap par blocs temps-échelles multivariés
- Test d'unimodalité de Hartigan

## Perspectives

Nombre de valeurs distinctes dans  
 $\underline{H} = (H_1, \dots, H_M)$  ?

## 1. AUTOSIMILARITÉ MULTIVARIÉE

### Modèle [Didier et al., 2011]

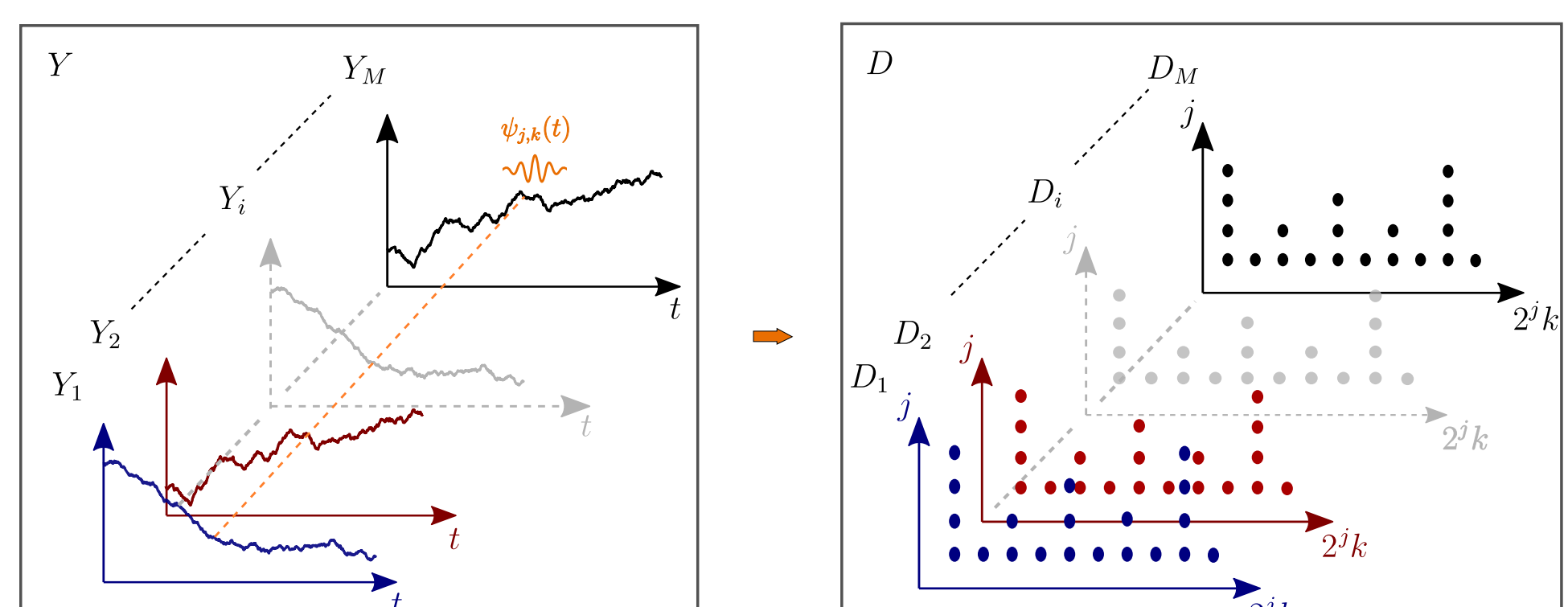


$$B_{H_m}(t), \quad 0 < H_m < 1$$

Exposants d'autosimilarité multivariée :  $\underline{H} = (H_1, \dots, H_M)$

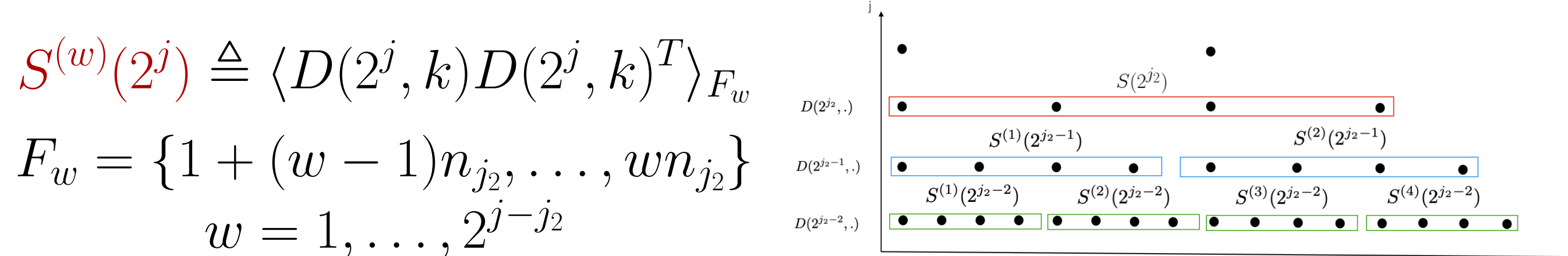
### Estimation [Wendt et al., 2018 ; Lucas et al., 2021]

1. Transformée en ondelettes multivariée



$$\text{avec } Y = B_{\Sigma, W, H}, \quad D_m(2^j, k) = \langle 2^{-j/2} \psi_0(2^{-j} t - k) | Y_m(t) \rangle$$

2. Spectres d'ondelettes sur  $n_{j_2}$  coefficients d'ondelettes



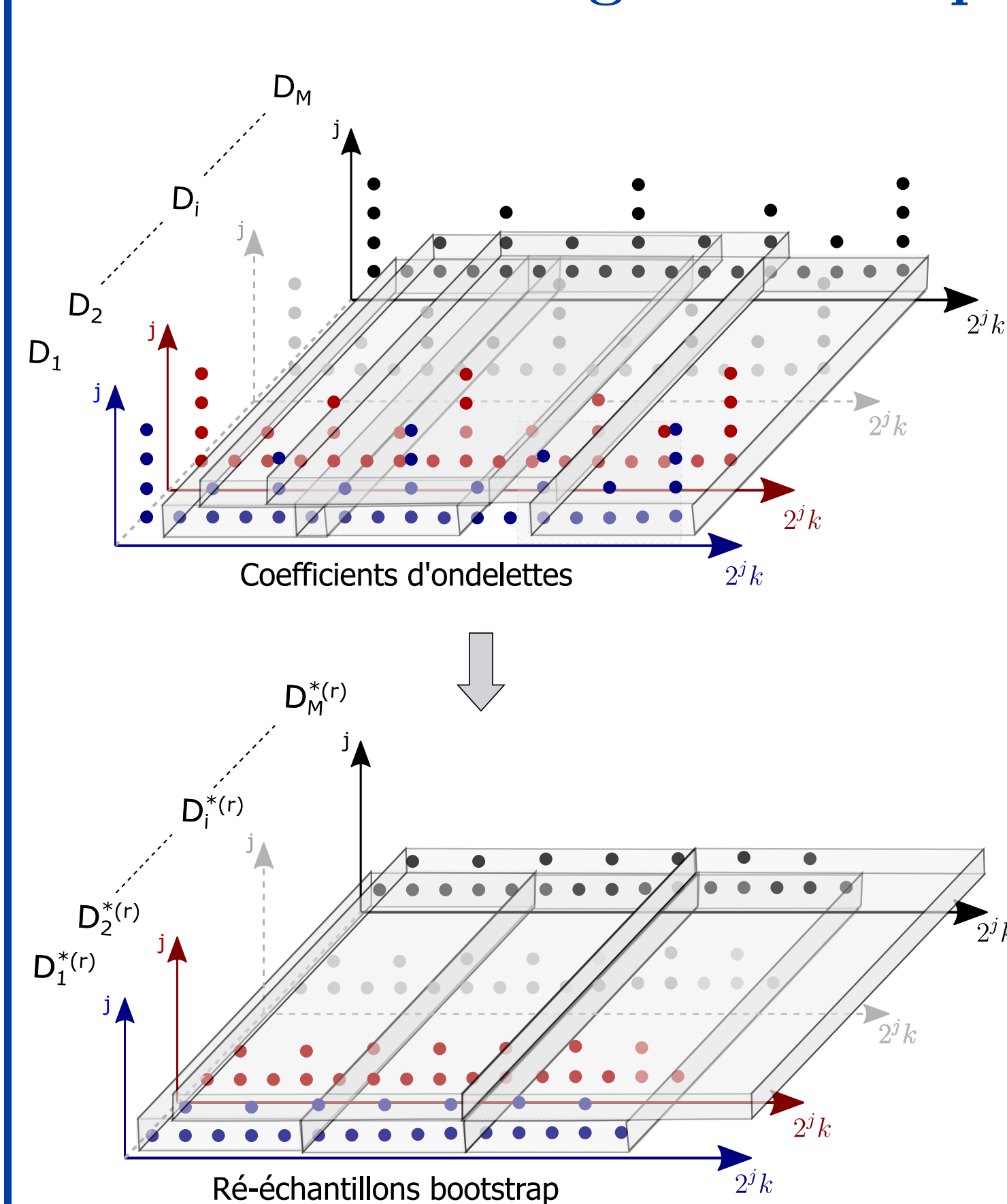
3. Valeurs propres  $S(w)(2^j)$  :  $\{\lambda_1^{(w)}(2^j), \dots, \lambda_M^{(w)}(2^j)\}$

→ loi de puissance asymptotique :  $\lambda_m^{(w)}(2^j) = \xi_m 2^{j(2H_w+1)}$

4. Régression linéaire :  $\hat{H}_m = \frac{1}{2} \sum_{j=j_1}^{j_2} \omega_j \langle \log_2 \lambda_m^{(w)}(2^j) \rangle_w + \frac{1}{2}$

## 4. TEST : BOOTSTRAP

### Ré-échantillonnage bootstrap



$$R \text{ ré-échantillons} \\ D^{*(r)} = (D_1^{*(r)}, \dots, D_M^{*(r)})$$

$$R \text{ estimées bootstrap} \\ \hat{H}^{*(r)} = (\hat{H}_1^{*(r)}, \dots, \hat{H}_M^{*(r)})$$

$$R \text{ estimées bootstrap centrées} \\ \bar{H}_m^{*(r)} = \hat{H}_m^{*(r)} - \langle \hat{H}_m^{*(r)} \rangle_r$$

$$R \text{ fonctions de répartition empiriques} \\ \hat{F}^{*(r)}(x) = \frac{1}{M} \sum_{m=1}^M \mathbb{1}_{\{\hat{H}_m^{*(r)} \leq x\}}$$

$$R \text{ statistiques de test bootstraps} \\ \hat{d}^{*(r)}$$

### Définition

$$\text{p-valeur } \hat{p}^* \triangleq \sum_{r=1}^R \mathbb{1}_{\{\hat{d}^{*(r)}\}} \Rightarrow \text{rejeter } \mathcal{H}_0 \text{ quand } \hat{p}^* < \alpha$$

## 2. ASYMPTOTIQUE DE GRANDE DIMENSION

### Régime asymptotique

$$\frac{M}{N/2^{j_2}} \rightarrow c \in [0, +\infty) \text{ lorsque } M, N, j_2 \rightarrow +\infty$$

### Comportement asymptotique des $\hat{H}_m$

$$H_1 = \dots = H_M \Leftrightarrow \text{distribution des } \hat{H}_m \text{ unimodale}$$

## 3. TEST : MÉTHODOLOGIE

1. Hypothèse nulle  $\mathcal{H}_0 : H_1 = \dots = H_M$

2. Fonction de répartition empirique :  $\hat{F}(x) = \frac{1}{M} \sum_{m=1}^M \mathbb{1}_{\{\hat{H}_m \leq x\}}, \quad \forall x \in \mathbb{R}$

3. Statistique de test de Hartigan :  $\hat{d} = \inf_{G \in \mathcal{U}} \sup_{x \in \mathbb{R}} |\hat{F}(x) - G(x)|$

$\mathcal{U}$  : ensemble des fonctions de répartition unimodales

4. Rejeter  $\mathcal{H}_0$  quand  $\hat{d} > d_\alpha$ ,  $\alpha$  : probabilité de fausse alarme

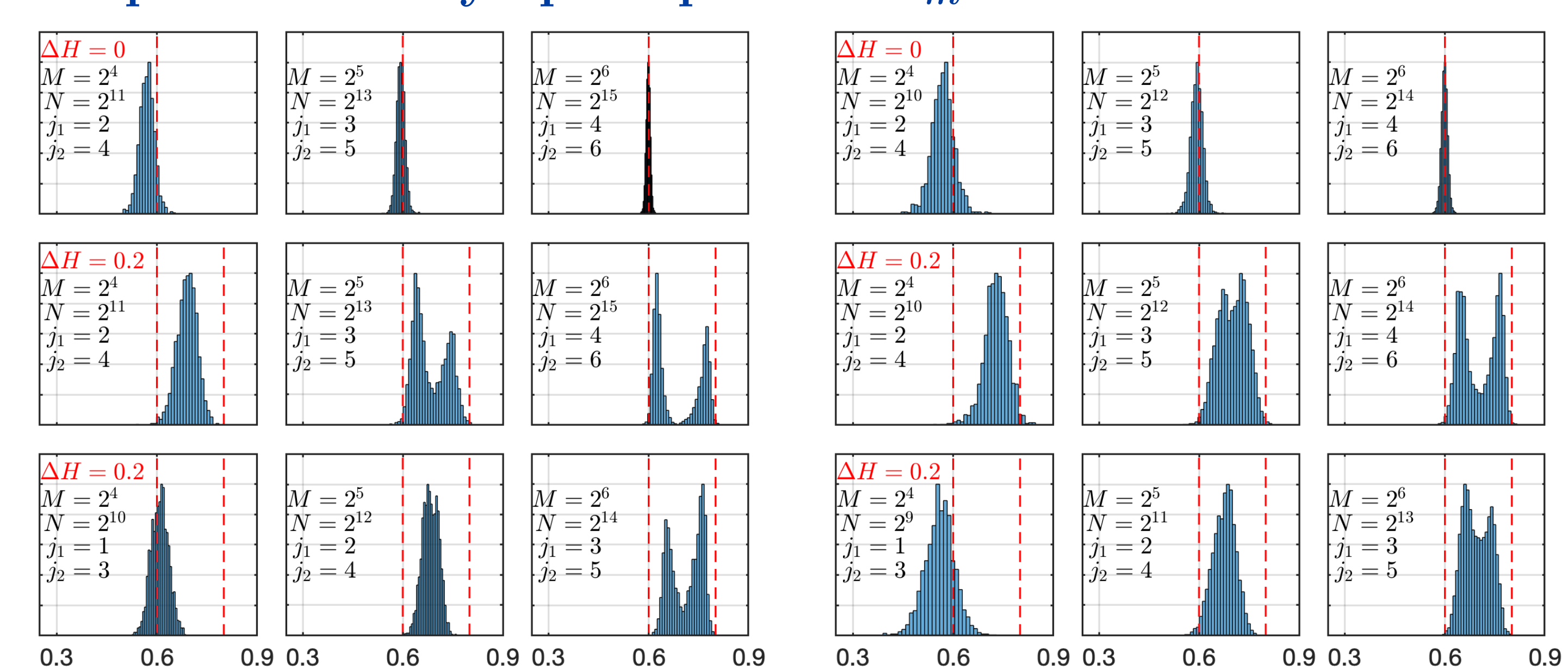
## 5. ÉVALUATION DES PERFORMANCES

### Simulations de Monte Carlo

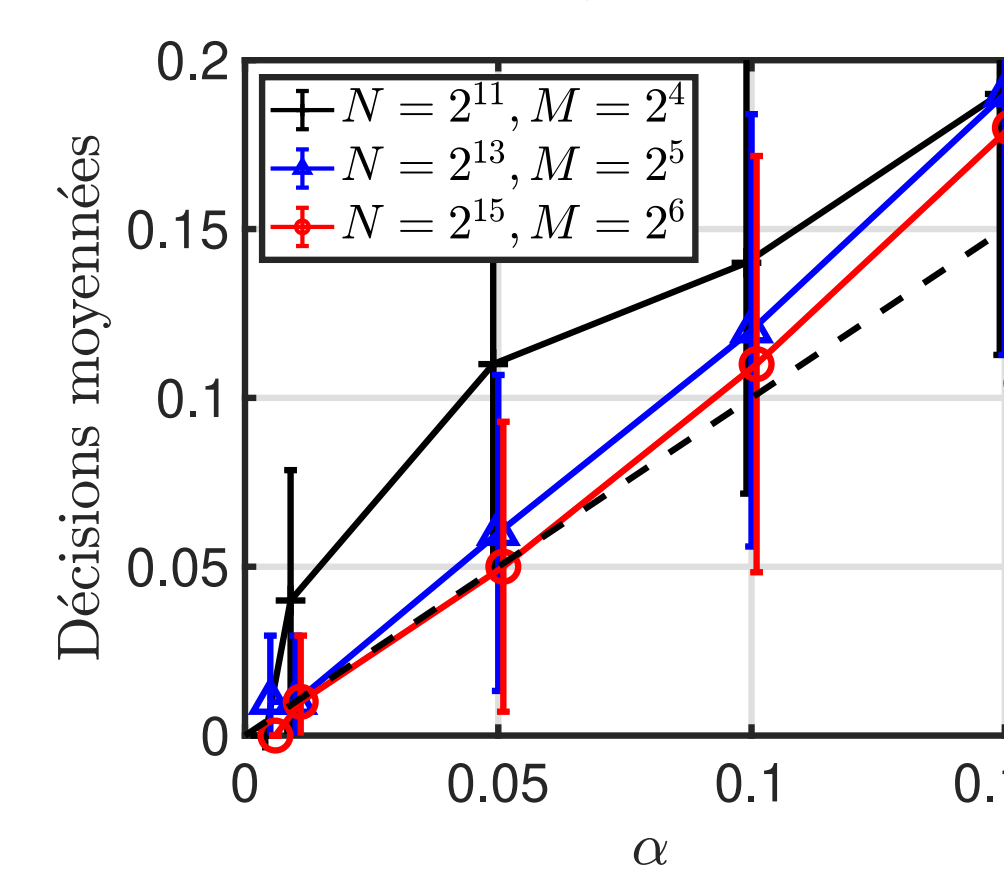
$$N_{MC} = 100 \text{ réalisations}, \quad c \triangleq M 2^{j_2}/N \in \{1/8, 1/4\}$$

$$\underline{H} = (H_1, \dots, H_1, \underline{H}_2, \dots, \underline{H}_2), \quad \Delta H = \underline{H}_2 - \underline{H}_1, \quad H_1 = 0.6$$

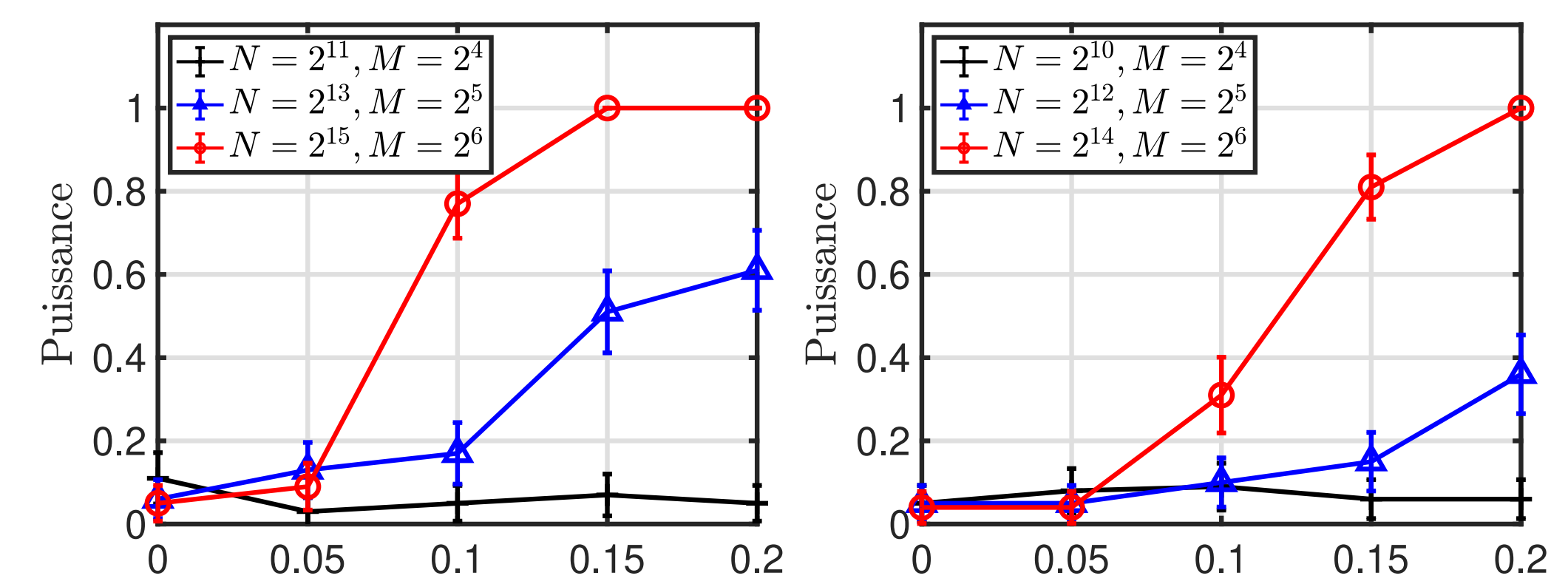
### Comportement asymptotique des $\hat{H}_m$



### Reproduction de l'hypothèse nulle $\mathcal{H}_0$



### Puissance du test pour $\alpha = 0.05$



[Didier et al., 2011] G. Didier and V. Pipiras, "Integral representations and properties of operator fractional Brownian motions," Bernoulli, vol. 17, no. 1, pp. 1–33, 2011.

[Wendt et al., 2018] H. Wendt, P. Abry, and G. Didier, "Wavelet domain bootstrap for testing the equality of bivariate self-similarity exponents," 2018 IEEE Statistical Signal Processing Workshop (SSP). IEEE, 2018.

[Lucas et al., 2021] C.-G. Lucas, P. Abry, H. Wendt, and G. Didier, "Bootstrap for testing the equality of self-similarity exponents across multivariate time series," in Proc. European Signal Processing Conference (EUSIPCO), Dublin, Ireland, August 2021.